

**This Page is Inserted by IFW Indexing and Scanning
Operations and is not part of the Official Record**

BEST AVAILABLE IMAGES

Defective images within this document are accurate representations of the original documents submitted by the applicant.

Defects in the images include but are not limited to the items checked:

- BLACK BORDERS**
- IMAGE CUT OFF AT TOP, BOTTOM OR SIDES**
- FADED TEXT OR DRAWING**
- BLURRED OR ILLEGIBLE TEXT OR DRAWING**
- SKEWED/SLANTED IMAGES**
- COLOR OR BLACK AND WHITE PHOTOGRAPHS**
- GRAY SCALE DOCUMENTS**
- LINES OR MARKS ON ORIGINAL DOCUMENT**
- REFERENCE(S) OR EXHIBIT(S) SUBMITTED ARE POOR QUALITY**
- OTHER:** _____

IMAGES ARE BEST AVAILABLE COPY.

As rescanning these documents will not correct the image problems checked, please do not report these problems to the IFW Image Problem Mailbox.

(54) VOICE DECODING METHOD

(11) 5-113798 (A) (43) 7.5.1993 (19) JP

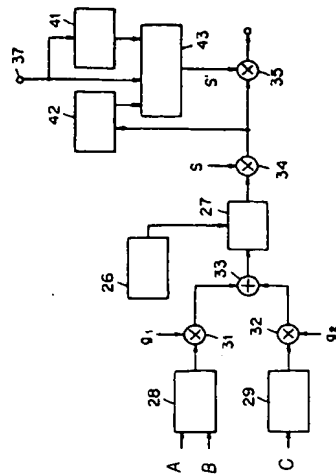
(21) Appl. No. 3-173793 (22) 15.7.1991

(71) NIPPON TELEGR & TELEPH CORP <NTT> (72) HIROTO SUDA(2)

(51) Int. Cl^s. G10L9/14

PURPOSE: To depress strain from being suddenly increased in such a state that a faulty code is not caused immediately after the reproduced voice level has been reduced or in a state-strain frame, in the decoding method of Code-Excited Linear Prediction Coding (CELP) in which the reproduced voice level is reduced by faulty transmission.

CONSTITUTION: A past driving sound-source vector is repeatedly output from an adaptation code book 28 in a pitch period that has been input, and a noise code that has been input is read and output from a noise code book 29; and these are added and supplied to a synthesizing filter 27 as a driving signal, and the reproduced voice from the synthesizing filter 27 is multiplied by a gain S by means of a multiplier 34, and then the multiplied output is supplied to a power calculating part 42 for calculating an average power. If the power P_n of the present frame calculated by the power calculating part 42 in such a state that a flag representing a state frame has been input from a state-strain flag 41 into a gain correcting part 43 is greater than a times the precedent frame power P_p , a correction gain $S = a^{1/2} \times P_p/P_n$ is given to a multiplier 35 for reducing the output voice level.



26: linear prediction parameter decoding part, 37: fault detection information, A: precedent frame driving sound-source vector, B: periodic signal, C: noise code

(54) CODE DRIVING LINEAR PREDICTION CODING SYSTEM

(11) 5-113799 (A) (43) 7.5.1993 (19) JP

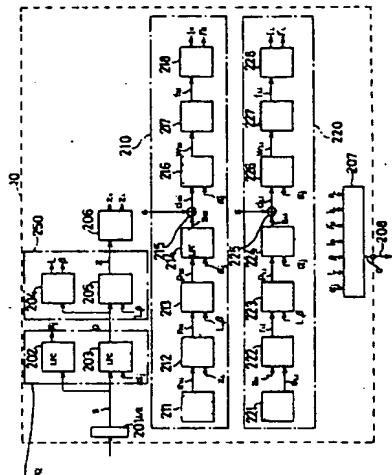
(21) Appl. No. 3-219656 (22) 30.8.1991

(71) OKI ELECTRIC IND CO LTD (72) HIROSHI KATSURAGAWA(3)

(51) Int. Cl^s. G10L9/14, G10L9/18

PURPOSE: To provide a code driving linear prediction coding system by which real-time processing can be facilitated.

CONSTITUTION: On the basis of a high-band-pitch residual vector signal Z_h , the retrieval of an optimum driving source vector is carried out by a high-band coding system 210 for outputting both an optimum code index I_h and a driving source gain γ_h , and also on the basis of a low-band-pitch residual vector signal Z_l the retrieval of an optimum driving source vector is carried out by a low-band coding system 220 for outputting both an optimum code index I_l and a driving source gain γ_l , and these are quantized and output by a quantizer 207.



10: coding system, 202: IPC analyzing part, 203: IPC analyzing counter, 204: pitch analyzing part, 206, 212-216, 222-226: filter, 207: quantizer, 208: transmission line, 211, 221: code book, 217, 227: calculation part, 218, 228: selection part, 240: analyzer, 250: pitch analyzing system

(54) VOICE CODING METHOD

(11) 5-113800 (A) (43) 7.5.1993 (19) JP

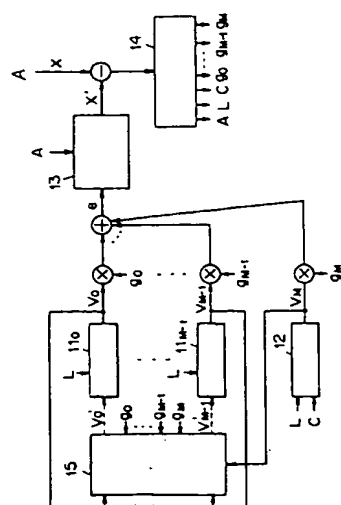
(21) Appl. No. 3-272985 (22) 22.10.1991

(71) NIPPON TELEGR & TELEPH CORP <NTT> (72) KAZUNORI MANO(2)

(51) Int. Cl^s. G10L9/14, G10L9/18

PURPOSE: To enhance adaptability, and to enable coding of high quality.

CONSTITUTION: M copies (11_0 to 11_{M-1}) of adaptation code books are prepared, and the sum of that which a gain g_i has been given to an adaptation code vector V_i ($i=0, 1, \dots, M-1$) therefrom and that which a gain g_M has been given to a noise code vector V_M from a noise code book 12 is supplied to a linear prediction synthesizing filter 13 as a driving signal for synthesizing voice, and the filter factor A of filter 13, pitch period L, noise code vector c, gains g_i , g_M are coded by a strain minimizing control part 14 so that the strain of the voice synthesizing waveform to the input voice can be reduced to a minimum. In the renewal of the adaptation code book 11_j , $V'_j = \sum f_{i,j} \cdot V_i$ ($i=0, 1, \dots, M-1$), where Σ is taken from $j=0$ to M , and the $f_{i,j}$ ($j=0, \dots, M$) is a weight coefficient for obtaining V'_j from V_i and V_M . For instance, let $f_{0,0}=g_0$, $f_{0,1}=g_1$, $f_{0,M}=g_M$, $f_{i,M}=g_M$, and in all the others, $f_{i,j}=0$; then V'_j becomes the driving signal of the preceding frame, and V'_j becomes the noise code vector $g_M \cdot V_M$ of the preceding frame, thus, the noise code vector of the preceding frame can be emphasized.



11_j: adaptation code book, 11_{M-1}: ditto, 14: strain minimizing control part, 15: adaptation code book renewal part, A: input voice

BEST AVAILABLE COPY

PATENT ABSTRACTS OF JAPAN

(11)Publication number : 05-113798
 (43)Date of publication of application : 07.05.1993

(51)Int.CI.

G10L 9/14

(21)Application number : 03-173793

(71)Applicant : NIPPON TELEGR & TELEPH CORP
 <NTT>

(22)Date of filing : 15.07.1991

(72)Inventor : SUDA HIROTO
 MANO KAZUNORI
 MORIYA TAKEHIRO

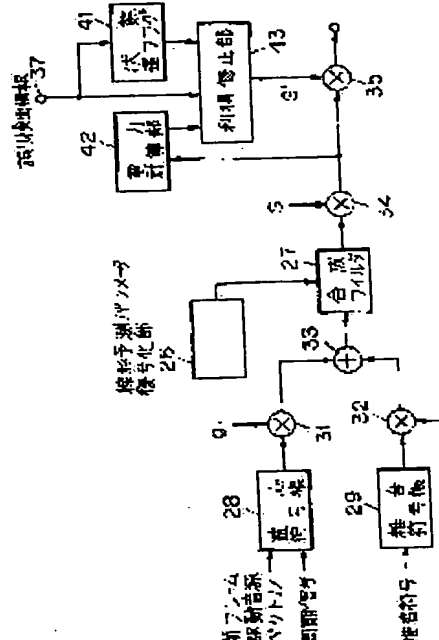
(54) VOICE DECODING METHOD

(57)Abstract:

PURPOSE: To depress strain from being suddenly increased in such a state that a faulty code is not caused immediately after the reproduced voice level has been reduced or in a state-strain frame, in the decoding method of Code-Excited Linear Prediction Coding (CELP) in which the reproduced voice level is reduced by faulty transmission.

CONSTITUTION: A past driving sound-source vector is repeatedly output from an adaptation code book 28 in a pitch period that has been input, and a noise code that has been input is read and output from a noise code book 29; and these are added and supplied to a synthesizing filter 27 as a driving signal, and the reproduced voice from the synthesizing filter 27 is multiplied by a gain S by means of a multiplier 34, and then the multiplied output is supplied to a power calculating part 42 for calculating an average power. If the power Pn of the present frame calculated by the power calculating part 42 in such a state that a flag representing a state frame has been input from a state-strain flag 41 into a gain correcting part 43 is greater than a times the precedent frame power Pp, a correction gain $S = a1/2\sqrt{\times} Pp/Pn$

43 is given to a multiplier 35 for reducing the output voice level.



LEGAL STATUS

[Date of request for examination]

18.09.1997

[Date of sending the examiner's decision of rejection]

[Kind of final disposal of application other than the examiner's decision of rejection or application converted registration]

[Date of final disposal for application]

[Patent number]

[Date of registration]

[Date of requesting appeal against examiner's
decision of rejection]

[Date of extinction of right]

Copyright (C); 1998,2000 Japan Patent Office

(19)日本国特許庁 (JP)

(12) 公開特許公報 (A)

(11)特許出願公開番号

特開平5-113798

(43)公開日 平成5年(1993)5月7日

(51)Int.Cl.⁵
G 10 L 9/14

識別記号 G 8946-5H
J 8946-5H
N 8946-5H

F I

技術表示箇所

審査請求 未請求 請求項の数1(全8頁)

(21)出願番号 特願平3-173793

(22)出願日 平成3年(1991)7月15日

(71)出願人 000004226

日本電信電話株式会社

東京都千代田区内幸町一丁目1番6号

(72)発明者 須田 博人

東京都千代田区内幸町一丁目1番6号 日本電信電話株式会社内

(72)発明者 間野 一則

東京都千代田区内幸町一丁目1番6号 日本電信電話株式会社内

(72)発明者 守谷 健弘

東京都千代田区内幸町一丁目1番6号 日本電信電話株式会社内

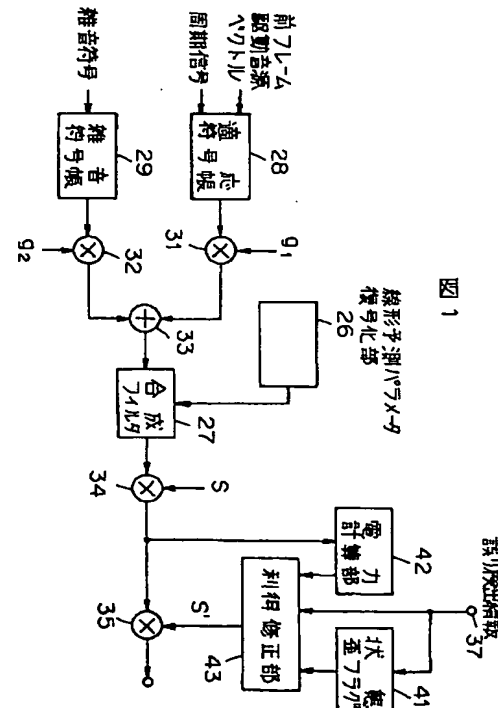
(74)代理人 弁理士 草野 阜

(54)【発明の名称】 音声復号方法

(57)【要約】

【目的】 復号駆動線形予測符号化 (C E L P) の復号方法において伝送誤りにより再生音声レベルを低下する方式において、そのレベル低下の直後に符号誤りが生じない状態 (状態歪フレーム) で歪が急増するのを押える。

【構成】 適応符号帳 28 から過去の駆動音源ベクトルを入力されたピッチ周期で繰返して出力し、雑音符号帳 29 から入力された雑音符号を読み出して出力し、これらを加算して合成フィルタ 27 に駆動信号として供給し、その合成フィルタ 27 からの再生された音声を乗算器 3 4 で利得 S を乗算し、その乗算出力を電力計算部 4 2 へ供給して平均電力を計算する。状態歪フラグ 4 1 から状態フレームを示すフラグが利得修正部 4 3 に入力された状態で、電力計算部 4 2 の計算した現フレームの電力 P_n が前フレームの電力 P_p に対し、a倍より大であれば、修正利得 $S = \sqrt{a \times P_p / P_n}$ を乗算器 3 5 に与えて出力音声レベルを下げる。



【特許請求の範囲】

【請求項 1】 フレームごとに受信される音声符号化情報と過去の復号状態とから音声波形を復号し、上記受信された音声符号化情報に符号誤りが検出されると上記復号される音声の電力を低下させる音声復号方法において、

前フレームに符号誤りがあって上記電力低下を行いかつ現フレームには符号誤りがなかった状態（状態歪フレーム）を検出し、

前フレームに対する現フレームの音声電力情報または復号処理の状態における電力情報の変動量を算出し、その変動量が所定値以上か否かを検出し、その変動量が所定値以上でかつ上記状態歪フレームで現フレームの通常の復号処理により得られる音声よりも低い電力の復号音声を生成することを特徴とする音声復号方法。

【発明の詳細な説明】

【0001】

【産業上の利用分野】 この発明は、例えば、伝送路上で符号誤りが頻発する移動無線システムへ適用され、符号誤り制御技術（誤り訂正／検出符号化処理等）が施された音声符号化情報と過去の復号状態とを用いて音声を復号し、特に伝送符号誤りが生じたフレームで復号される音声電力を低下させる音声復号方法に関する。

【0002】

【従来の技術】 移動無線のように符号誤りが頻発する応用分野に適用される音声伝送方式では、誤り訂正符号化技術を用いて、符号誤りによる伝送音声の品質劣化を押さえている。しかし、バースト誤りが頻発する移動無線のような適用領域では、強力な誤り訂正符号を用いたとしても、十分な適用効果が得られないのが実情である。これは、バースト内での誤りの密度が高いため、たとえ強力な誤り訂正符号を用いても誤りを除去することが難しいことに起因する。そのため、誤り訂正符号を適用していても、結果として誤りを訂正しきれない場合がかなり多く発生することになる。

【0003】 訂正しきれない誤りを残したままの符号化情報から音声を復号すると、大きな歪みを復号音声に生じてしまう。歪みを小さく押さえるため、誤り検出機能を持たせておき、誤りが検出された場合には通常の復号法とは異なる処理、即ち波形修復処理を行ない符号誤りの影響を極力押さえる工夫がとられている。従来この波形修復処理は、図4Aに示すように誤り検出情報のみを基にして行なわれていた。過去の復号情報を用いて符号化する高能率音声符号化方式として符号駆動線形予測符号化（Code-Excited Linear Prediction Coding : CELP）がある。この復号側に誤り検出情報にもとづく波形修復処理を施した場合を図5を参照して説明する。この場合は音声符号化情報として線形予測パラメータ符号と、周期（ピッ

チ）符号と、雑音符号と、重み符号とが1フレームごとに送られて受信され、線形予測パラメータ符号が線形予測パラメータ復号化部26で復号化され、その予測パラメータが線形予測合成フィルタ27にフィルタ係数として設定される。それまでに得られた直前の過去（前フレーム）の駆動音源ベクトル（残差波形）と、入力された周期符号とを用いて適応符号帳28からその周期で過去の駆動音源ベクトルを切り出し、これをフレーム分繰り返した時系列符号ベクトルが出力され、また入力された雑音符号が示す符号ベクトルが雑音符号帳29から時系列ベクトルとして読み出される。これら時系列ベクトルは乗算器31、32で入力された重み符号に応じて、それぞれ重み付けがなされた後、加算器33で加算され、その加算出力が駆動音源ベクトルとして合成フィルタ27へ供給され、合成フィルタ27から再生音声が得られる。この再生音声に乗算器34で利得Sが乗算され、更に乗算器35で修正利得部36からの修正S利得が乗算されて最終出力される。修正利得部36は端子37から誤り検出情報が入力されると、乗算器35の利得を1以下にする。

【0004】

【発明が解決しようとする課題】 しかし、このように高能率音声符号化方式では、過去の状態が現在の波形に影響を及ぼすため、前のフレームに誤りが重複すると次のフレームの復号音声に、たとえそのフレームの情報には全く誤りが重複していないとしても、聴感上重大な歪みを生じてしまうことがある。即ち前述したようにCELP方式に代表される高能率音声符号化方式では、過去の復号状態を現在のフレームの合成フィルタ27に対する駆動源の一部として用いる構成をとるため、過去の状態の歪みが現在の復号音声に影響し、なおかつそれは、合成フィルタ27で増幅されて加算されることになる。以下では表現を簡略化するため、前のフレームにおいて誤りが重複したと判断され現フレームにおいては誤りがないまたは誤りの影響が無視できると判断された場合に、その現フレームを状態歪フレームと呼ぶこととして説明を行なう。

【0005】 種々の実験研究の結果、次のことが判明した。状態歪フレームにおいては、常に聴感上重大な歪みを生じるのではなく、以下の場合においてこの歪みの発生が顕著になる。前フレームの音声電力と比べて状態歪フレームの音声電力が顕著に大きくなる場合に歪が大きくなる。すなわち、音声が立ち上がる所（語頭など）に状態歪フレームが重なると聴感上重大な歪みが発生しやすくなる。そのため、状態歪フレームであれば常に波形修正処理を適用することにしてしまうと、ほとんど劣化していない復号音声波形まで波形修正されることになり、かえって波形修正に起因する劣化を生じてしまう。しかし、一方で、全く波形修正処理を適用しないとすると、上記の説明のように、聴感上重大な歪みが発生する

場合が生じることになる。そこで、この発明はこれらの問題を解決するため、以下の手段から構成される。

【0006】

【課題を解決するための手段】この発明によれば状態歪フレームを検出し、その状態歪フレームであり、かつ聽感上重大な歪みが発生する可能性の高いものを選別し、選別された状態歪フレームについてその波形修正処理、つまりレベル低下を行なう。状態歪フレームの中から波形修正処理を行なうフレームを選別する方法の基本は、復号音声電力情報、または合成フィルタ内の電力の状態、適応符号帳から時系列ベクトルおよび雑音符号帳からの時系列ベクトルのそれぞれの電力の変動量を用いて、これが増加する方向に所定値以上変化した場合を検出する。この選別された状態歪フレームの波形修正処理の基本は、そのフレームの音声電力を小さく押さえることである。音声電力を小さく押さえる方法として、再生された音声電力そのものを小さくする処理、前フレームからの影響を小さく押さえつつ音声電力も小さくする。

【0007】

【実施例】以下では、高能率音声符号化方式としてのC E L P方式をとりあげ、C E L P方式へのこの発明の適用例を説明する。この発明は、C E L P方式と類似の方式または類似の構成を含む方式に対しても、適用が可能である。図1にC E L P方式の復号法にこの発明を適用した例を示し、図5と対応する部分に同一符号を付けてある。この実施例では状態歪フレームが検出されるとレジスタ41に状態歪フラグがセットされる。また乗算器34からの再生音声信号が電力計算部42へも供給され、電力計算部42で再生音声信号の音声電力が計算される。この計算された音声電力と状態歪フラグとが利得修正部43へ供給される。利得修正部43は状態歪フラグが立っている状態で、音声電力が前フレームに対し、所定値以上大となった場合は乗算器35に対する利得を低下するように修正する。なお利得修正部43には端子37から誤り検出情報が直接入力され、伝送誤りが所定値以上生じた場合は従来と同様に乗算器35に対する利得修正を行うようにされている。つまり利得修正部43は従来の利得修正部36と同一機能を含むものである。

【0008】利得修正部43における新しく加わった機能は次のように行われる。例えば図3Aに示すように、状態歪フレームかがチェックされ(S₁)、状態歪フレームの場合、つまり状態歪フラグが立っている場合は前フレームの音声平均電力P_pに定数a、例えばa=9.0のような正の実数を乗算した値よりも、現フレームの音声平均電力P_nが大になったかをチェックし(S₂)、大の場合は利得S'を $\sqrt{(a \times P_p / P_n)}$ とする(S₃)。その他の場合はS'=1とする。このようにして状態歪フレームの平均電力がその1フレーム前の平均電力のa倍よりも必ず小さくなるように平均電力の上限を制限している。

【0009】あるいは図3Bに示すように状態歪フレームであり、かつ $a P_p < P_n$ の場合は、修正利得S'を $\sqrt{(1/b)}$ としてもよい。bは正の実数である。あるいは図4Aに示すように、状態歪フレームの場合は、T < P_n - P_p (T: 正の実数) をチェックし(S₂)、前フレームの平均電力P_pよりも現フレームの平均電力P_nの方が所定値Tより大きければ修正利得S'を $\sqrt{((T + P_p) / P_n)}$ とする(S₃)。

【0010】図1では再生音声の電力の変化と状態歪フラグとにより修正利得S'を制御したが、適応符号帳、雑音符号帳の各出力時系列ベクトルについて同様の利得修正をするようにしてもよい。例えば図2に図1と対応する部分に同一符号を付けて示すように、乗算器31の出力は電力計算部44にも供給され、ここで平均電力が計算され、その計算された平均電力と状態歪フラグとが利得修正部45へ供給され、その計算された電力が状態歪フレームにおいて前フレームに対し、急に増加していると、乗算器31の出力側に挿入された乗算器46に対する利得Pが低下される。同様に乗算器32の出力は電力計算部47にも供給され、ここで平均電力が計算され、その計算された平均電力が利得修正部48へ供給され、その計算された電力が状態歪フレームにおいて、前フレームに対し、急に増加していると、乗算器32の出力側に挿入された乗算器49に対する利得rが低下される。P、rの制御は図3A、B、図4Aに示すように行い、その定数a、b、Tなどはそれぞれ独立に決めることも可能であり、お互いに影響しない値とすることもできる。

【0011】更に図に示していないが合成フィルタ27の内部において何れかの単位遅延素子の出力の平均電力を計算し、その計算した電力が状態歪フレームで前フレームに対し急に増加している場合は、そのフィルタ内部の電力の利得を低下させるようにすることもできる。また上述では修正利得制御として、利得を単に下げたが、利得を下げると共にその利得を1フレーム内で徐々に増加させるように時間軸上で三角又は台形状に利得を変化させてもよい。上述において前フレームの電力と比較したが、1フレーム以上過去の平均電力を用いてもよい。

【0012】

【発明の効果】以上述べたようにこの発明によれば、状態歪フレームにおいて、平均電力が前フレームより急に大になると、利得を抑圧するため、音声符号化ビットに伝送路の符号誤りが残留した場合に、復号音声に重複する耳障りな歪の増加を押さえることが可能となる。

【図面の簡単な説明】

【図1】この発明の実施例を示すブロック図。

【図2】この発明の他の実施例を示すブロック図。

【図3】利得修正部にこの発明により付加された機能の処理例を示す流れ図。

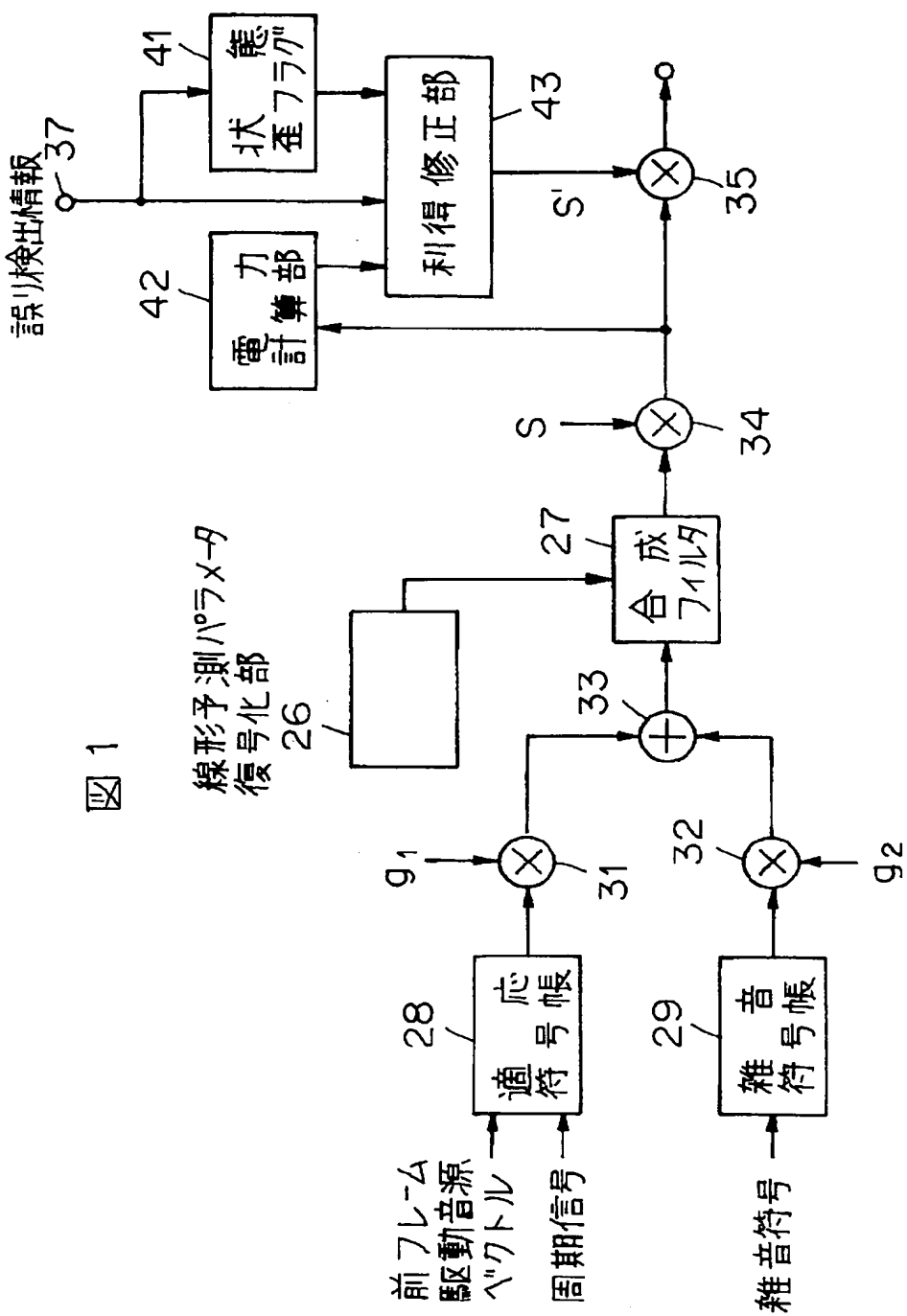
【図4】Aは図3の処理の他の例を示す流れ図、Bは従

来の復号方法を示すブロック図である。

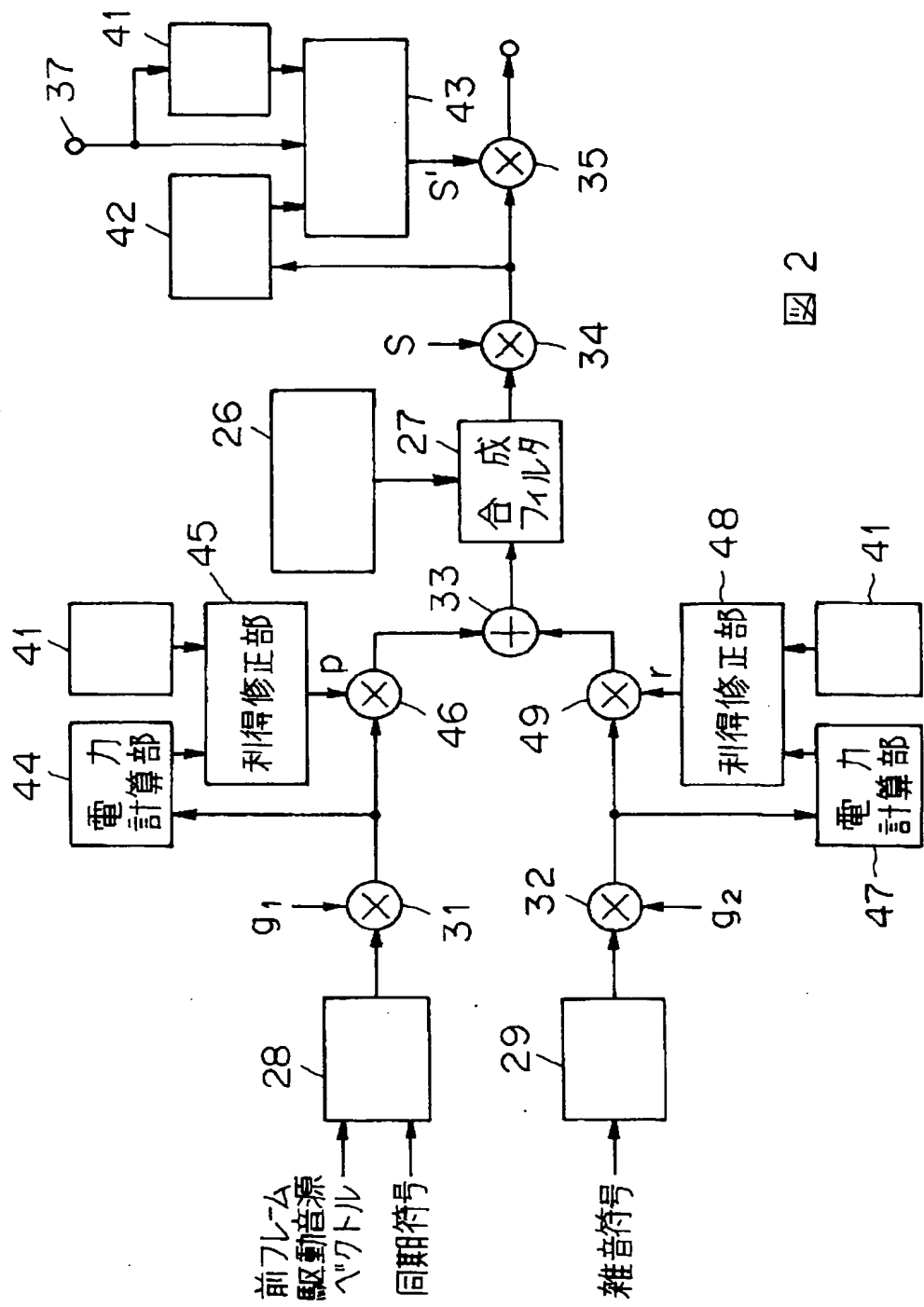
【図5】従来のCEL P方式の復号法を示すブロック

図。

【図1】



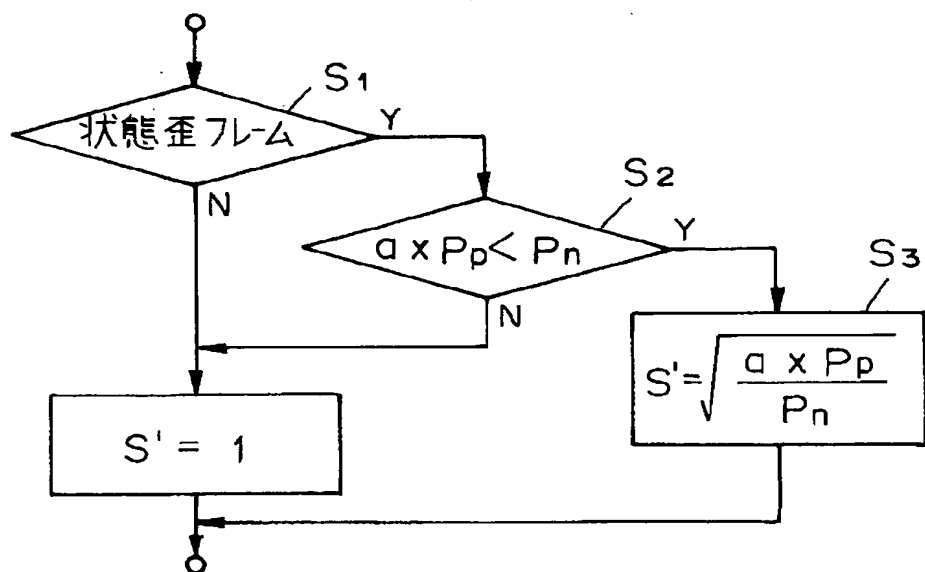
【图2】



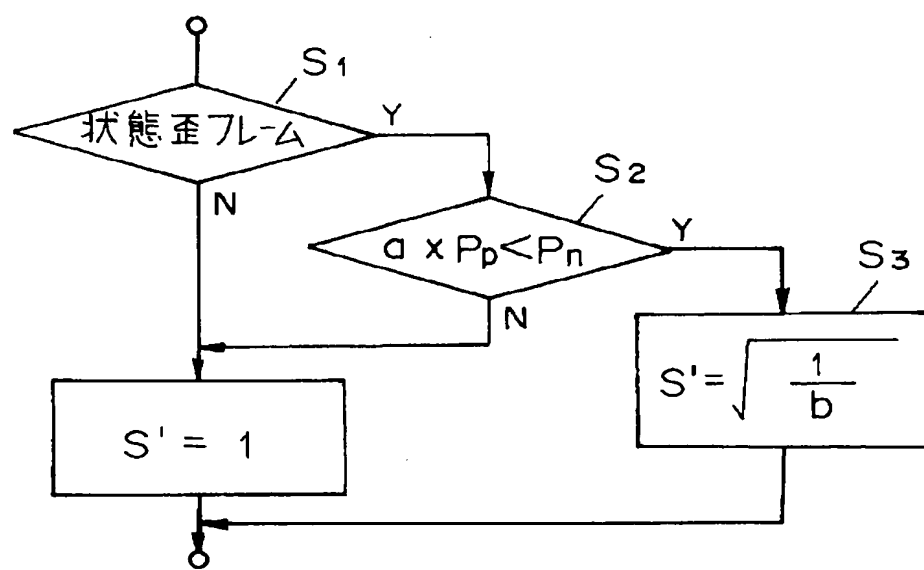
【図3】

図3

A

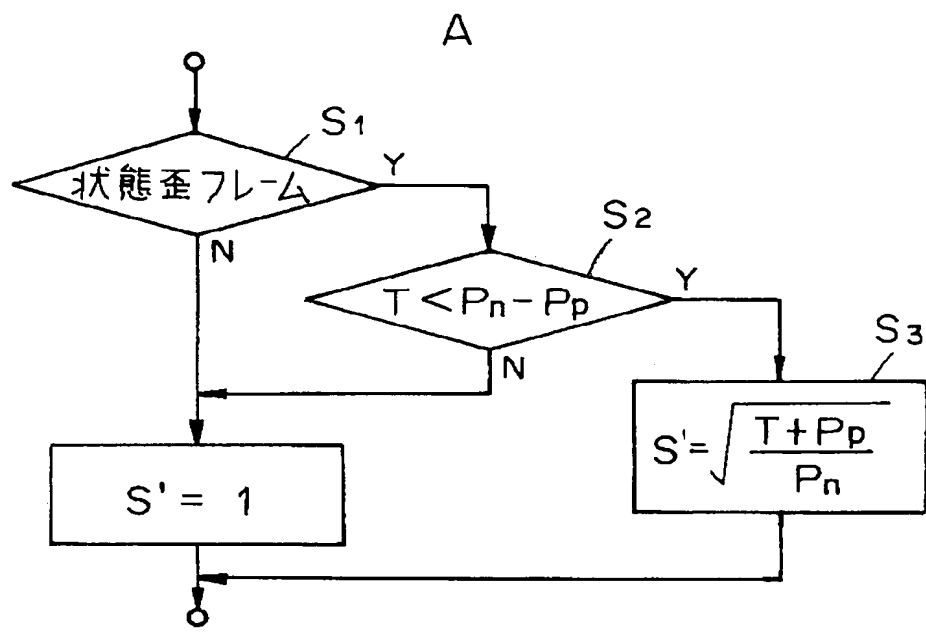


B

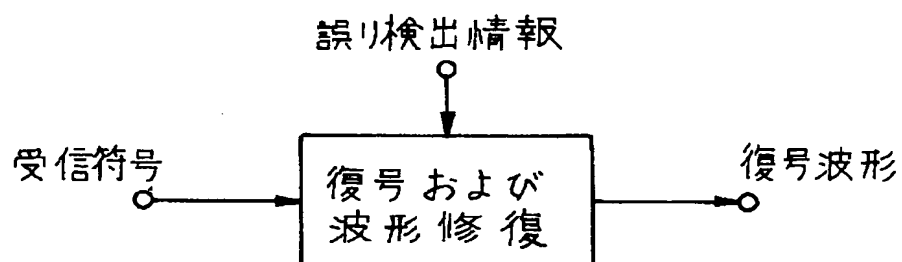


【図4】

図4



B



【 5】

